

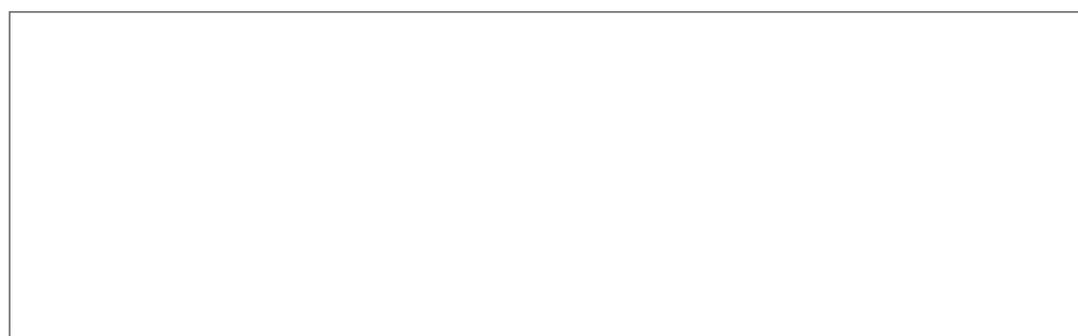
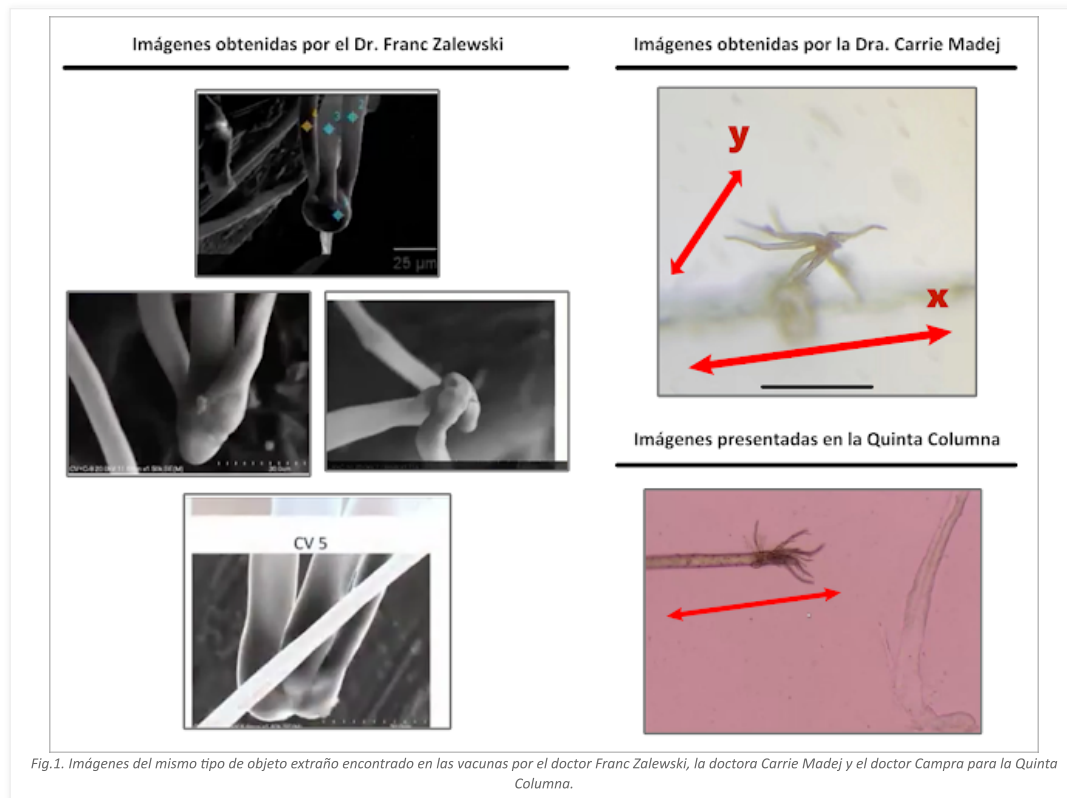
C0r0n@ 2 Inspect

Revisión y análisis de los artículos científicos relativos a las técnicas y métodos experimentales empleados en las vacunas contra el c0r0n@v|rus, evidencias, daños, hipótesis, opiniones y retos.

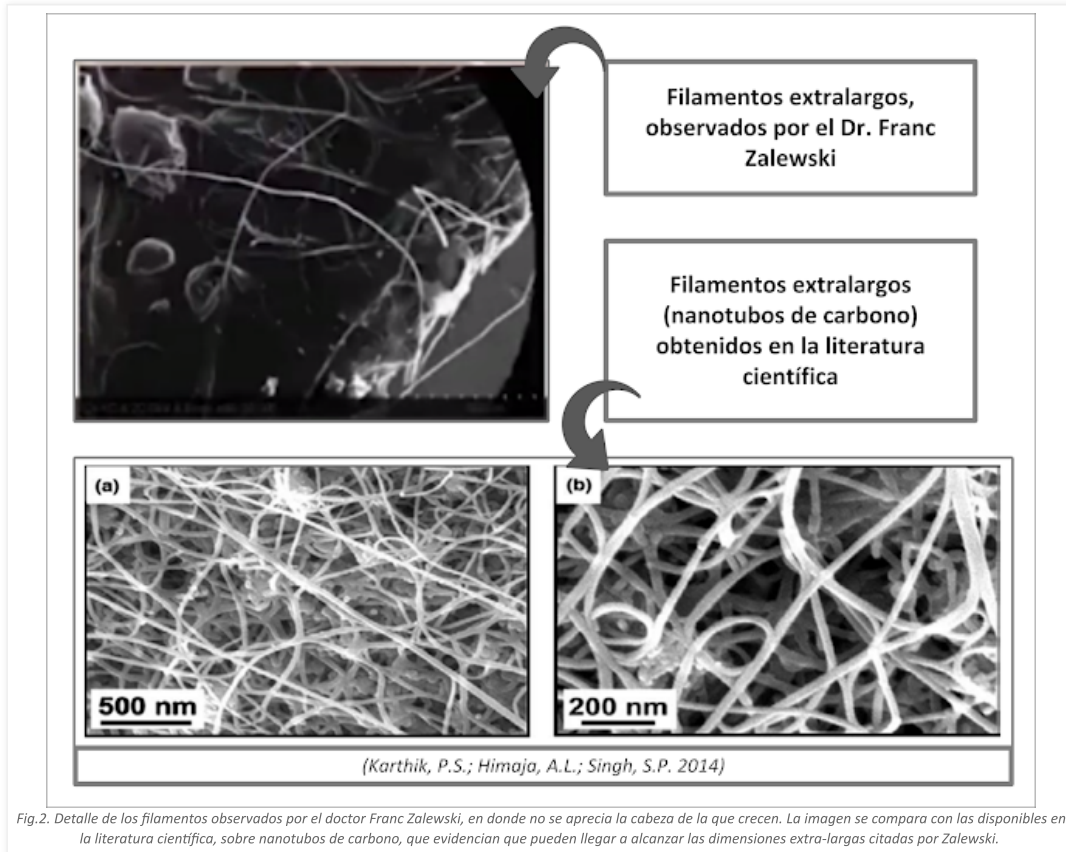
jueves, 14 de octubre de 2021

Nanopulpos de carbono o forma de vida sintética

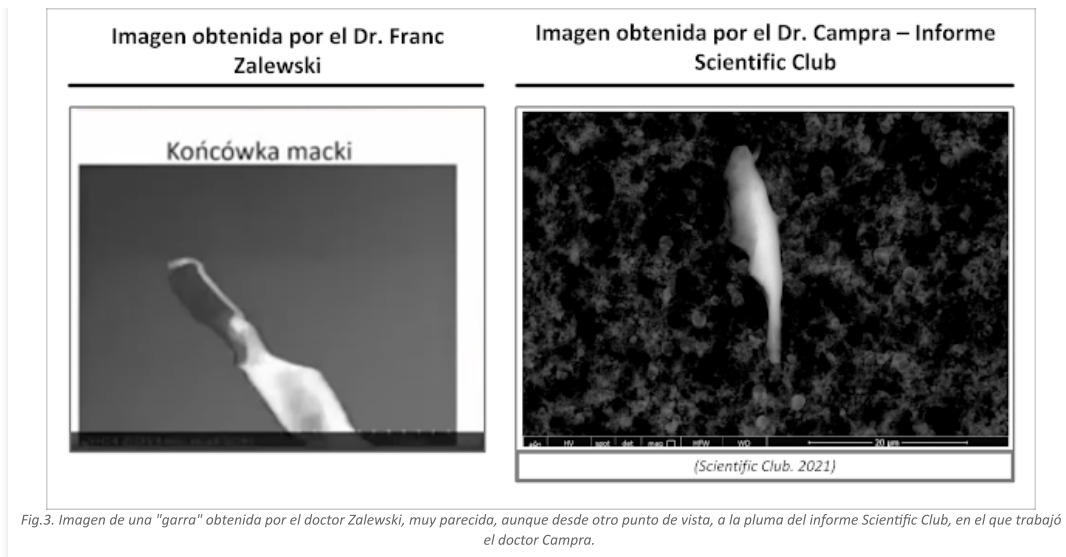
La preocupación que está causando el hallazgo de elementos extraños en las vacunas del c0r0n@v|rus, está despertando el interés de muchos investigadores, algunos de los cuáles tienen la oportunidad y los medios de obtener nuevas pruebas que confirman su existencia. En concreto, el doctor Franc Zalewski (doctor en Geología), ofreció recientemente una conferencia presentando, lo que en C0r0n@2Inspect y en la literatura científica se ha calificado como un nanopulpo de carbono. El doctor se refiere a este elemento extraño como "The thing - La cosa". La imagen SEM que presenta como prueba, véase figura 1 y vídeo 1, consta de un esferoide del que crecen varios brazos (tentáculos, flagelos o filamentos). El esferoide es identificado por Zalewski como una cabeza. La composición del objeto es eminentemente de carbono y aluminio (aunque también se cita el bromo). A continuación, en su exposición procede a explicar las proporciones del objeto, con diámetro de 20 µm en la cabeza y unos brazos de longitud completamente desproporcionada, de unos pocos milímetros (2,5mm). También se hace alusión a que los brazos o tentáculos presentan colores diferentes, quizás debido a la composición del material con el que han crecido. En la figura 2, se pueden observar a modo de filamentos extralargos.



Vídeo 1. Fragmento de la conferencia del Dr. Franc Zalewski, presentando los resultados de su análisis de los viales de la vacuna.



Por otra parte, en la conferencia hace alusión a que el "supuesto organismo" nace a partir de huevos. Esto no ha sido demostrado, puesto que el mismo Zalewski reconoce no haberlos encontrado. Sin embargo, alude a que crecen en un entorno fértil y con condiciones adecuadas para el crecimiento y su eclosión; esto es abundancia de materiales de carbono (grafeno) y otros metales. Por otra parte, explica que durante 4 días, los brazos del objeto extraño crecieron en una cámara de pulverización catódica, donde se cita textualmente sus palabras "la temperatura es alta, de modo que el grafeno es pulverizado, el arco eléctrico se quemá". Finalmente, la exposición concluye con la presentación de una tercera prueba gráfica en la que se presenta, una "especie de garra" de carbono, en la que terminan los brazos del objeto/organismo, conforme a la figura 3.



Evaluación

La descripción e imágenes ofrecidas por el doctor Zalewski no son concluyentes, para considerar que el objeto extraño observado, se trate de una forma de vida sintética basada en el carbono y/o el aluminio. No existe evidencia de vídeo en donde se observe su evolución y desarrollo. Por otra parte, sí es cierto que Zalewski aporta todas las claves que hacen que los nanopulpos de carbono se desarrollen, tal como se expondrá a continuación en los siguientes puntos:

1. Para que se puedan desarrollar los brazos del nanopulpo de carbono, se requieren dos elementos, en primer lugar grafeno o carbono, y por otro lado un material de nucleación catalizador, que puede ser níquel (Ni) u otro como el aluminio (Al), tal como se recoge en las siguientes investigaciones (Lobo, L.S. 2017 | Ermakova, M.A.; Ermakov, D.Y., Chuvilin, A.L.; Kuvshinov, G.G. 2001 | 居艳; 李凤仪; 魏任重; 饶日川. 2004 | Wei, R.; Li, F.; Ju, Y. 2005 | Austing, D.G.; Finnie, P.; Lefebvre, J. 2004). Por tanto, el aluminio es un material compatible con la nucleación de los nanotubos de carbono, lo que explica la composición encontrada por Zalewski. De hecho, según (Pham-Huu, C.; Vieira, R.; Louis, B.; Carvalho, A.; Amadou, J.; Dintzer, T.; Ledoux, M.J. 2006 | Emmenegger, C.; Bonard, J.M.; Mauron, P.; Sudan, P.; Lepora, A.; Grobety, B.; Schlapbach, L. 2003) se indica que "*Aparentemente, el diámetro de CNF (Carbon Nanofibers - Nanofibras de carbono) no depende del diámetro inicial de la partícula de catalizador, sino solo de la modificación estructural de la partícula de níquel de partida durante el proceso de crecimiento. Para explicar el diámetro homogéneo (es decir, 10-40 nm) de nanotubos de carbono de paredes múltiples que crecen a partir de una capa continua inicial de óxido de hierro depositada sobre un sustrato de aluminio plano mediante recubrimiento por rotación. La fragmentación continua de las partículas del catalizador se produjo durante el curso de la síntesis, lo que llevó a la formación de centros activos más pequeños a través de la formación de un carburo metaestable seguido de su descomposición en partículas de carbono y hierro*".

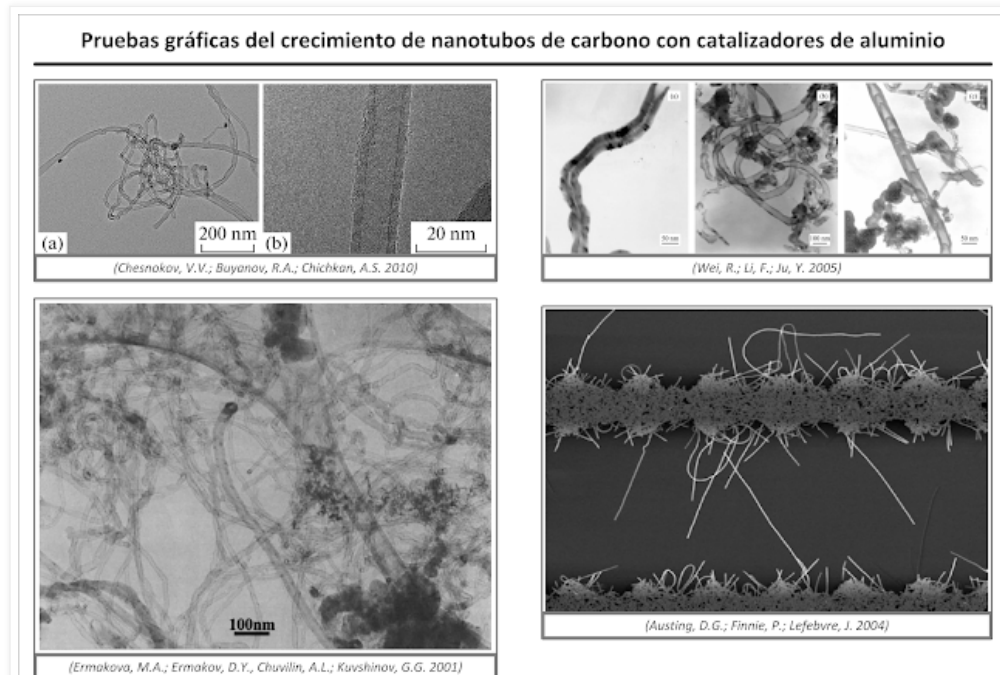
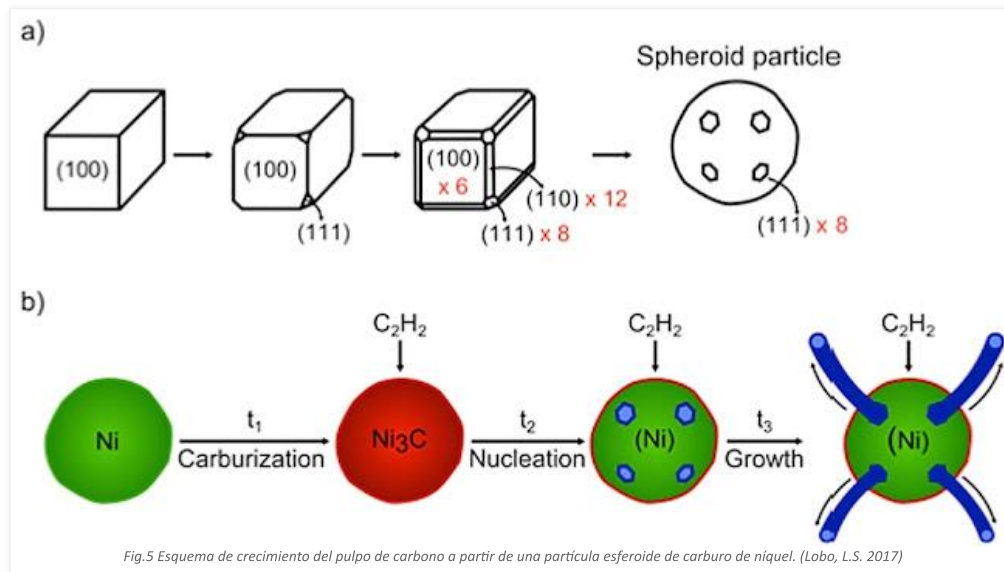


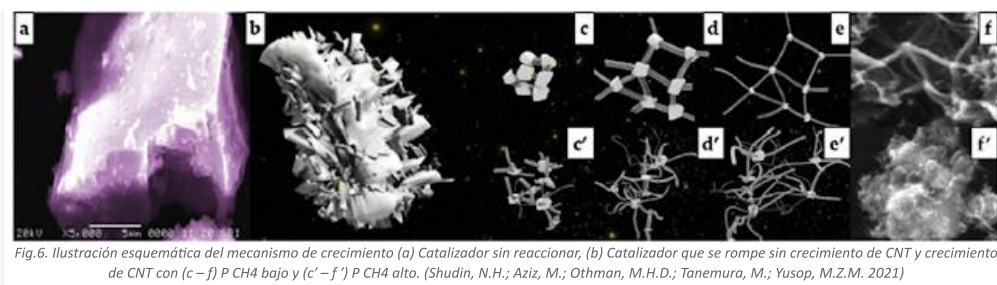
Fig.4. Muestras de la literatura científica en las que se hizo crecer nanotubos de carbono a partir de diversos catalizadores de aluminio. Además se hizo crecer

de diversas formas y con distintas condiciones ambientales y de temperatura, aunque en todas, respondía con mayor velocidad al calor.

2. La cabeza del objeto extraño, un esferoide, del que crecen los brazos es en realidad la partícula esferoide necesaria para la nucleación y crecimiento de los brazos del nanopulpo de carbono, tal como recoge la doctora (Lobo, L.S. 2017) en su trabajo, cuyo material es carbono y el metal catalizador, véase figura 5. De acuerdo a la estructura de carbono-grafeno de la superficie del esferoide, pueden desarrollarse geometrías variadas de las que surgen los brazos observados, lo que explica que en el caso de Zalewski, surgieran 3, pero en el caso de Madej se vieran 4, y en el caso de la imagen de la Quinta Columna un total de 8, véase figura 1. Este fenómeno es descrito por (Lobo, L.S. 2017) de la siguiente forma "aquí elegimos relacionar la forma del esferoide con una referencia a un cubo imaginario para ayudar a comprender el número de sus facetas y geometría. Con esta geometría en mente, cuando la nucleación y el crecimiento tienen lugar en un conjunto particular de facetas, el comportamiento observado puede entenderse mejor. ¿Existe un crecimiento preferencial en 6, 8 o 12 patas? Esta será una clave para confirmar la orientación de cristal favorecida que prevalece para la nucleación". El proceso de crecimiento de los nanotubos de carbono está explicado en la [entrada sobre los nanopulpos de carbono](#).



3. Según Zalewski, el crecimiento más desarrollado de los filamentos o brazos, sucedió cuando la muestra se introdujo en "una cámara de pulverización catódica, donde la temperatura es alta, de modo que el grafeno es pulverizado, el arco eléctrico se quema", lo que coincide con las condiciones de crecimiento de los pulpos de carbono, en temperaturas moderadamente elevadas, tal como indica la literatura científica (Lobo, L.S. 2017 | Saavedra, M. S. 2014 | Dasgupta, K.; Joshi, J.B.; Paul, B.; Sen, D.; Banerjee, S. 2013). A este método de crecimiento, también hay que sumar el crecimiento de las nanofibras/nanotubos de carbono mediante microondas, tal como relatan (Mubarak, N.M.; Abdullah, E.C.; Sahu, J.N.; Jayakumar, N.S.; Ganesan, P. 2015) en su estudio.
4. La longitud de los nanotubos de carbono es variable, coincidiendo con la descripción dada por Zalewski, lo que es compatible con los nanopulpos de carbono y la formación de sus brazos (nanotubos de carbono), tal como se demuestra en la figura 2. Según (Lobo, L.S. 2017) la longitud depende de la cantidad de grafeno circundante en la disolución y del catalizador que se emplea para llevar a efecto su crecimiento.
5. Finalmente, cabe mencionar el asunto de las "garras de carbono" que menciona Zalewski, que puede observarse en la figura 3. Supuestamente, este objeto es conformado en los extremos de los brazos del supuesto organismo. Sin embargo, la imagen proporcionada como prueba, sólo muestra al objeto, independiente de los brazos o tentáculos, de forma que no se puede comprobar que se encuentre unido a ellos. La imagen aportada como prueba es muy similar a la que se compartió en el informe de "The Scientists Club" en el que participó el doctor Campra, bajo el título "[NANOTECHNOLOGICAL INVESTIGATIONS ON COVID-19 VACCINES: Detection of toxic nanoparticles of graphene oxide and heavy metals](#)". La forma afilada que bien parece un cuchillo o una pluma, podría ser un defecto de material o como lo denominan en el trabajo de (Shudin, N.H.; Aziz, M.; Othman, M.H.D.; Tanemura, M.; Yusop, M.Z.M. 2021), un catalizador, o bien una parte del mismo, que se rompe sin crecimiento de nanotubos de carbono, lo que explicaría la forma afilada, véase figura 6b. Sin embargo, este objeto aún se está identificando y resulta precipitado ofrecer una identificación fiable en estos momentos.



Opiniones

1. En resumen, por lógica, considerando todos los aspectos expuestos en el apartado de evaluación, parece que la supuesta forma de vida sintética, podría tratarse más bien de un pulpo de carbono, con unas particularidades de crecimiento y fisionomía específicas, dadas por los materiales de composición, la temperatura y condiciones en las que ha sido analizado. Todos los parámetros de crecimiento, morfología, materiales, escala y dimensiones son coincidentes con los encontrados en la literatura científica. Sin embargo, no se ha encontrado aún en la literatura científica, un organismo sintético, con vida o movimiento, con la morfología expuesta.
2. A pesar de que las pruebas conducen a la evidencia de los nanopulpos de carbono, y por tanto, al resultado de la manufactura e ingeniería humana, sin vida, materializado en un fenómeno de crecimiento inorgánico, no se puede descartar que en la vacuna no existan otros elementos que sí respondan a los principios de organismos artificiales y al menos sí presenten aparente vida propia. De hecho se tiene constancia de un objeto extraño que sí presenta movimiento y autonomía aparente, que será identificado en una de las próximas entradas de este blog.
3. En relación al trabajo realizado por el doctor Zalewski, se agradece el esfuerzo por ofrecer al mundo un análisis de microscopía de la vacuna, compartirlo, concienciar y darlo a conocer con la preocupación que caracteriza a cualquier persona de Ciencia. Con independencia del tipo de objeto del que se trate, parece estar claro, que no debieran encontrarse estos elementos, objetos y materiales, que claramente, parecen haber sido manufacturados de forma intencionada por los fabricantes.
4. Los nanopulpos de grafeno son elementos importantes para conformar el hardware neuronal necesario para neuromodulación/neuroestimulación inalámbrica a través de ondas electromagnéticas (EM microondas), debido a que permiten enlazar el tejido cerebral, las neuronas, glías, astrocitos, aumentando la sinapsis, pero también permitiendo incidir en ella, debido a la capacidad superconductor, tal como se ha explicado en la entrada sobre [nanopulpos y nanotubos, redes de nanocomunicación para nanotecnología en el cuerpo humano y el sistema de enrutamiento CORONA para nanorredes](#).

Bibliografía

1. 居艳; 李凤仪; 魏任重; 饶日川. (2004). Effect of Lanthanum on Catalytic Growth of Carbon Nanotubes from Methane over Nickel-Aluminum Catalyst. En: Proceedings of 2004 International Conference on Rare Earth Research and Application (III).
2. Austing, D.G.; Finnie, P.; Lefebvre, J. (2004). Single Walled Carbon Nanotubes Grown by Chemical Vapour Deposition: Structures and Devices for Transport and Optics. J. Vac. Sci. Technol. A, 22, 747. https://confit.atlas.jp/guide/event-img/ssdm2005/G-7-2/public/pdf_archive?type=in
3. Chesnokov, V.V.; Buyanov, R.A.; Chichkan, A.S. (2010). Catalizador y tecnología para la producción de nanotubos de carbono = Catalyst and technology for production of carbon nanotubes. Kinetics and Catalysis, 51(5), pp. 776-781. <https://doi.org/10.1134/S0023158410050216>
4. Dasgupta, K.; Joshi, J.B.; Paul, B.; Sen, D.; Banerjee, S. (2013). Crecimiento de estructuras similares a pulpos de carbón a partir de negro de carbón en un lecho fluidizado = Growth of carbon octopus-like structures from carbon black in a fluidized bed. Materials Express, 3(1), pp. 51-60. <https://doi.org/10.1166/mex.2013.1093> | <https://www.ingentaconnect.com/contentone/asp/me/2013/00000003/00000001/art00007>
5. Emmenegger, C.; Bonard, J.M.; Mauron, P.; Sudan, P.; Lepora, A.; Grobety, B.; Schlapbach, L. (2003). Síntesis de nanotubos de carbono sobre catalizador de Fe en aluminio y mecanismo de crecimiento sugerido = Synthesis of carbon nanotubes over Fe catalyst on aluminium and suggested growth mechanism. Carbon, 41(3), pp. 539-547. [https://doi.org/10.1016/S0008-6223\(02\)00362-7](https://doi.org/10.1016/S0008-6223(02)00362-7)
6. Ermakova, M.A.; Ermakov, D.Y.; Chuvilin, A.L.; Kuvshinov, G.G. (2001). Descomposición de catalizadores de metano sobre hierro en el rango de temperaturas moderadas: la influencia de la estructura de los sistemas catalíticos y las condiciones de reacción en el rendimiento de carbono y la morfología de los filamentos de carbono = Decomposition of methane over iron catalysts at the range of moderate temperatures: the influence of structure of the catalytic systems and the reaction conditions on the

- yield of carbon and morphology of carbon filaments. *Journal of catalysis*, 201(2), pp. 183-197. <https://doi.org/10.1006/jcat.2001.3243>
7. Karthik, P.S.; Himaja, A.L.; Singh, S.P. (2014). Carbono-alótropos: métodos de síntesis, aplicaciones y perspectivas de futuro = Carbon-allotropes: synthesis methods, applications and future perspectives. *Carbon letters*, 15(4), pp. 219-237. <https://doi.org/10.5714/CL.2014.15.4.219>
 8. Lobo, L.S. (2017). Nucleación y crecimiento de nanotubos y nanofibras de carbono: Mecanismo y control de la geometría catalítica = Nucleation and growth of carbon nanotubes and nanofibers: Mechanism and catalytic geometry control. *Carbon*, 114, pp. 411-417. <https://doi.org/10.1016/j.carbon.2016.12.005>
 9. Mubarak, N.M.; Abdullah, E.C.; Sahu, J.N.; Jayakumar, N.S.; Ganesan, P. (2015). Mass production of carbon nanofibers using microwave technology. *Journal of nanoscience and nanotechnology*, 15(12), pp. 9571-9577. <https://doi.org/10.1166/jnn.2015.10492>
 10. Pham-Huu, C.; Vieira, R.; Louis, B.; Carvalho, A.; Amadou, J.; Dintzer, T.; Ledoux, M.J. (2006). About the octopus-like growth mechanism of carbon nanofibers over graphite supported nickel catalyst. *Journal of Catalysis*, 240(2), pp. 194-202. <https://doi.org/10.1016/j.jcat.2006.03.017>
 11. Saavedra, M. S. (2014). [Tesis doctoral]. Nano-pulpos de carbono: crecimiento y caracterización = Carbon Nano-Octopi: Growth and Characterisation. University of Surrey (United Kingdom). <https://www.proquest.com/openview/fd52e404bd09604147ca46b3a6e50f60/1>
 12. Shudin, N.H.; Aziz, M.; Othman, M.H.D.; Tanemura, M.; Yusop, M.Z.M. (2021). El papel de los precursores de hidrocarburos sólidos, líquidos y gaseosos en la deposición química de vapor de la temperatura de crecimiento de los nanomateriales de carbono cultivados = The role of solid, liquid and gaseous hydrocarbon precursors on chemical vapor deposition grown carbon nanomaterials' growth temperature. *Synthetic Metals*, 274, 116735. <https://doi.org/10.1016/j.synthmet.2021.116735>
 13. The scientist Club. (2021). INVESTIGACIONES NANOTECNOLÓGICAS SOBRE VACUNAS COVID-19: Detección de nanopartículas tóxicas de óxido de grafeno y metales pesados = NANOTECHNOLOGICAL INVESTIGATIONS ON COVID-19 VACCINES: Detection of toxic nanoparticles of graphene oxide and heavy metals. <https://t.me/laquintacolumna/10140>
 14. Wei, R.; Li, F.; Ju, Y. (2005). Preparación de nanotubos de carbono a partir de metano en catalizador de Ni/Cu/Al = Preparation of carbon nanotubes from methane on Ni/Cu/Al catalyst. *Journal of Natural Gas Chemistry*, 14(3), pp. 173-176. <https://doi.org/10.1016/S1003-9953-2005-14-3-173-176>